

鹿兒島工高專 正員 田原誠

1. まえがき

危険面に豪雨があつた場合に発生するサリ浸食の解析(4つ)には、種々の問題点たとえば、豪雨の地盤効果と崩壊の移動量、流砂の抵抗則、粘着^{摩擦など}があり、その浸食量の予測もと検討されてきている。本報では、限定された区域内での降雨による某水の結果、砂礫の流逝現象がみられると考えて、現場実測資料に基づいて、浸食モデルをつくりその数量的予測を試みたものである。

2. 実測結果の検討

図-1は河床形状のモデルで、初期勾配 $I_0 = \tan\theta_0$ 。傾斜面上に、上流端から x 軸、それに直角水平に y 軸、下方に z 軸をとる。雨は、斜面一樣に降雨強度 r を継続して時間 t だけ降りつづき、下流端 $x = l$ においては河床低下防止工がなされ、かつ堆積もなされないよう維持すればよいものとする。図-2は、実測値(●, ○印)と、シラス斜面における降雨実験³⁾の値(◆, △, ▲印)である。記号 ◆で、 $\theta_0 = 39.8^\circ$ 、安息角 $\theta_s = 34^\circ$ を与えた場合の線をひくと、図に示すように、最終形状として漸近することが考えられる。

図-3は、図-1のA-A断面モデルで、その実測値を図-4、5に示す。図-5から、河床幅 b_0 は下流に至ってあまり変化せずほぼ一定である。図-4から上流端 $x/l = 0.0$ へ0.3程度では、断面形状の一部として円弧を仮定してもよさそうである。いま、その半径として、 $R_s = (1-\beta)Z$ における、浸食断面積体、

$$A = \left(2 - \frac{\pi}{2}\right)(1-p)^2 Z^2 + b_0 Z \quad \dots \dots \dots (1).$$

となり、この場合は $\gamma \neq 0$ とみなすことができる。左記、図-3において流路偏倚 α は一般河川を想定するが、下流にいくにつれて α の増大する複枝状と考えらるが、実測資料が少くはないが、まだ傾向は得られなかった。

3. 流路浸食の基礎方程式

(1). 流水の連続、運動方程式

地表 $x = x_0$ における集水流量 Q および平均流速 V は、

$$Q = V \cdot b_0 \cdot h = k \int_{0}^x (2F_x + b_0) \cos \theta_0 \cdot dx \quad \dots \quad (2)$$

$$V = g U_* = g \sqrt{g h I_e} \quad \dots \dots \dots \quad (3)$$

ここで、流速係数 $\psi = k^{1/6}/n\sqrt{g}$ における Manning の粗度係数 $n = k^{2/3}(7.66\sqrt{g})$ 、 k は絶対粗度で 90% 粒径の 2 倍程度である。エネルギー勾配 $I_e \equiv I_x = dz/dx$ とみなすことができる、両式から、

$$Q = \frac{g b_o}{g I_x} U_x^3 \quad \dots \dots \dots \quad (4)$$

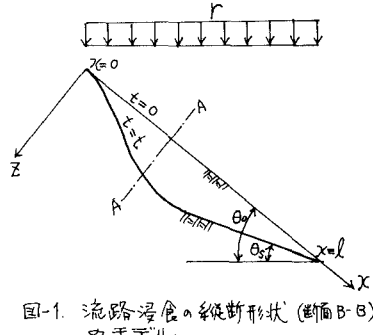


図-1. 流路浸食の縱断形状(断面B-B)
のモデル

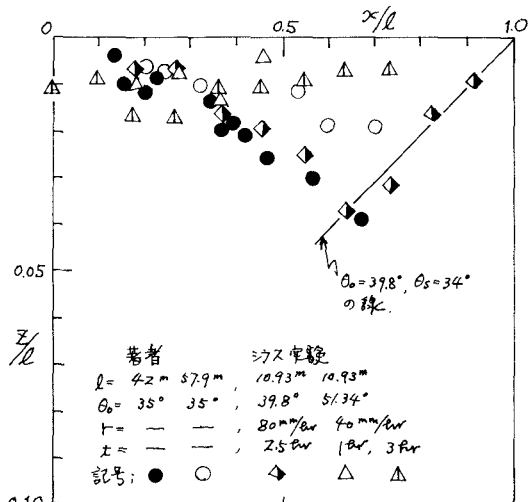


图-2 纵断形状

(2). 砂礫の連続・星崩方程式

地盤 $x=x$ における浸食容積は、 $\int_0^x A dx$ 、砂礫を単位容積で測定し、空隙率 λ (≈ 0.4)、単位幅あたりの砂礫移動量を q_T とおくと、連続の式は

$$(1-\lambda) \frac{\partial A}{\partial x} = \frac{\partial (q_T b_0)}{\partial x} \quad \dots \dots \dots (5)$$

流砂量の式として、次式を用いる。

$$q_T = \frac{K}{Sg} U_*^3 \quad \dots \dots \dots (6)$$

ここに、 K は流砂量係数で、土研の表示では 0.623 である。 S_g は砂礫の水中比重で 1.65 程度、シラスでは 1.45 程度である。

(3). 河床の横断形状の式

式(4), (6)から U_* を消去すると、

$$q_T b_0 = \frac{K Q}{Sg} \frac{\partial z}{\partial x} \quad \dots \dots \dots (7)$$

ここに、 Q は式(2)よりも形に書き直し、式(1), (7)を式(5)に代入し整理すると、

$$\frac{\partial z}{\partial x} = \frac{K r a n \theta_0}{(1-\lambda) S_g} \frac{2(-p)z + b_0}{2(1-p)(1-p)^2 z + b_0} \times \left[\frac{\int_b^x [2(-p)z + b_0] dx}{2(1-p)z + b_0} \frac{\partial z}{\partial x^2} + \frac{\partial z}{\partial x} \right] \quad \dots \dots \dots (8)$$

いま、 $x/l = \xi$, $z/l = \varsigma$ および

$$\frac{t}{K r a n \theta_0} = \xi \frac{\partial \varsigma}{\partial \xi} \quad \dots \dots \dots (9)$$

とおけば、 $b_0 = -$ 定のとき

$$\frac{\partial \varsigma}{\partial \xi} = \xi \frac{\partial \varsigma}{\partial \xi^2} + \frac{\partial \varsigma}{\partial \xi} \quad \dots \dots \dots (10)$$

である。境界条件として、 $t=0$ で $z=0$, $x=l$ で $z=0$, $\partial z / \partial x = -\tan(\theta_0 - \theta_s)$ を考えるとかで可と見て、現在、数値計算を進めしており、講演時に発表する予定である。

最後に、本研究につけて御指導を頂きました九州大学構造工学部一郎教授、平野宗未助教授、および貴重な資料を提供して下さいました日本道路公団および鹿島建設技術研究所の方々に感謝の意を表す次第であります。

参考文献

- 1) 芦田・奥村・田中; 斜面侵食に関する実験的研究、防災研年報第 16-B, 昭 48.4
- 2) 河村・横山・日高; ガリ浸食に関する研究、第 28 回土木学会年講、昭 48.10
- 3) 日本道路公団福岡支社・鹿島建設 KK.; 吉田試験盛土工事報告書、昭 45.12

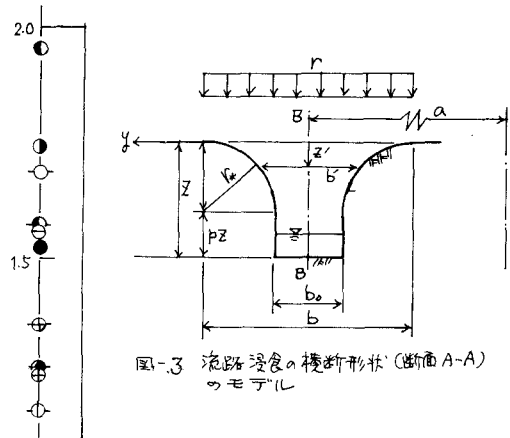


図-3 流路浸食の横断形状(断面 A-A)
○モードル

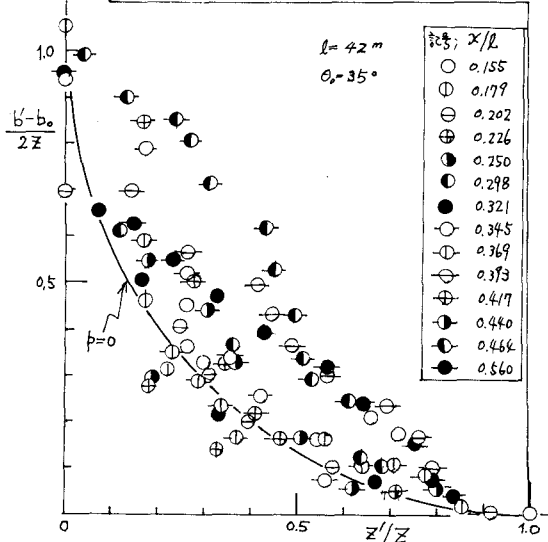


図-4. 横断形状

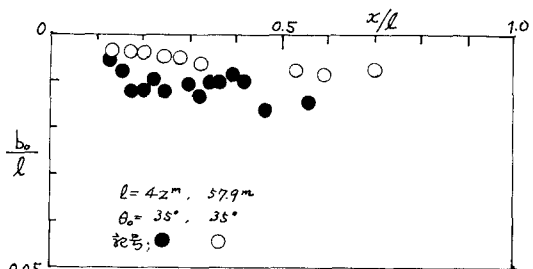


図-5. 河床幅